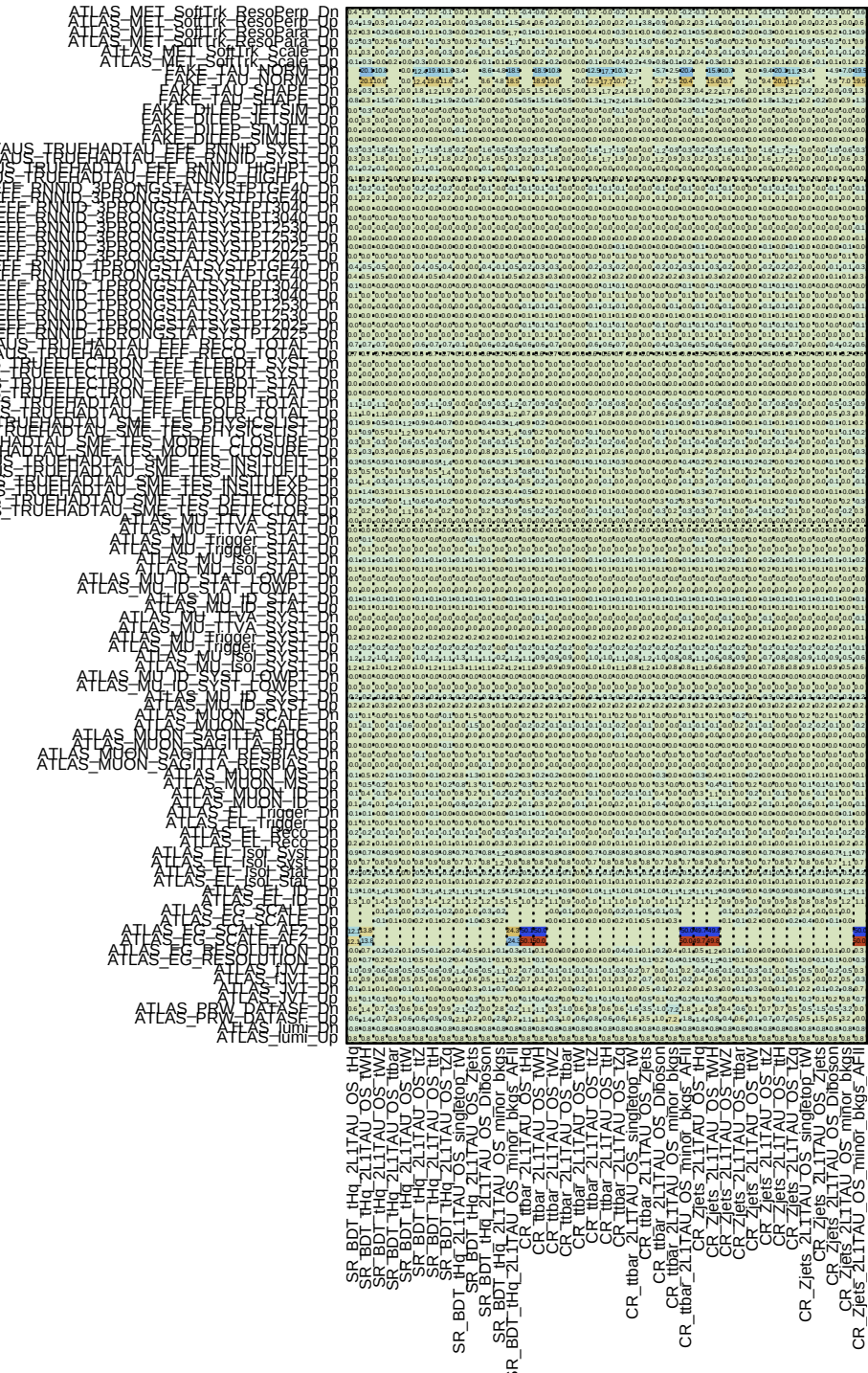
ATLAS_MET_SoftTrk_ResoPerp_Up
ATLAS_MET_SoftTrk_ResoPerp_Up
ATLAS_MET_SoftTrk_ResoPara_Up
ATLAS_MET_SoftTrk_ResoPara_Up
ATLAS_MET_SoftTrk_Scale_Up
ATLAS_MET_SoftTrk_Scale_Up
FAKE_EL_NORM_Up
FAKE_TAU_NORM_Up
FAKE_TAU_SHAPE_Up
FAKE_DILEP_JETSIM_Up
FAKE_DILEP_JETSIM_Up
FAKE_DILEP_SIMJET_Up
ATLAS_TRUEHADTAU_EFF_RNNID_SYST_Up
ATLAS_TRUEHADTAU_EFF_RNNID_HIGHPT_Up
ATLAS_TRUEHADTAU_EFF_RNNID_3PRONSTATSYSTBTGE40_Up
ATLAS_TRUEHADTAU_EFF_RNNID_3PRONSTATSYSTBTGE40_Up
ATLAS_TRUEHADTAU_EFF_RNNID_3PRONSTATSYSTBT3040_Up
ATLAS_TRUEHADTAU_EFF_RNNID_3PRONSTATSYSTBT2530_Up
ATLAS_TRUEHADTAU_EFF_RNNID_3PRONSTATSYSTBT2530_Up
ATLAS_TRUEHADTAU_EFF_RNNID_3PRONSTATSYSTBT2025_Up
ATLAS_TRUEHADTAU_EFF_RNNID_1PRONSTATSYSTBTGE40_Up
ATLAS_TRUEHADTAU_EFF_RNNID_1PRONSTATSYSTBTGE40_Up
ATLAS_TRUEHADTAU_EFF_RNNID_1PRONSTATSYSTBT3040_Up
ATLAS_TRUEHADTAU_EFF_RNNID_1PRONSTATSYSTBT3040_Up
ATLAS_TRUEHADTAU_EFF_RNNID_1PRONSTATSYSTBT2530_Up
ATLAS_TRUEHADTAU_EFF_RNNID_1PRONSTATSYSTBT2025_Up
ATLAS_TRUEHADTAU_EFF_RECO_TOTAL_Up
ATLAS_TRUEELECTRON_EFF_ELEBDT_SYST_Up
ATLAS_TRUEELECTRON_EFF_ELEBDT_SYST_Up
ATLAS_TRUEELECTRON_EFF_ELEBDT_STAT_Up
ATLAS_TRUEHADTAU_EFF_ETOSL_TOTAL_Up
ATLAS_TRUEHADTAU_EFF_ETOSL_TOTAL_Up
ATLAS_TRUEHADTAU_SME_TES_PHYSICSLIST_Up
ATLAS_TRUEHADTAU_SME_TES_MODEL_CLOSURE_Up
ATLAS_TRUEHADTAU_SME_TES_MODEL_CLOSURE_Up
ATLAS_TRUEHADTAU_SME_TES_INSITUFIT_Up
ATLAS_TRUEHADTAU_SME_TES_INSITUEXP_Up
ATLAS_TRUEHADTAU_SME_TES_DETECTOR_Up
ATLAS_TRUEHADTAU_SME_TES_DETECTOR_Up
ATLAS_MU_TTVA_STAT_Up
ATLAS_MU_Trigger_STAT_Up
ATLAS_MU_Trigger_STAT_Up
ATLAS_MU_Isol_STAT_Up
ATLAS_MU_Isol_STAT_Up
ATLAS_MU_ID_STAT_LOWPT_Up
ATLAS_MU_ID_STAT_LOWPT_Up
ATLAS_MU_ID_STAT_Up
ATLAS_MU_TTVA_SYST_Up
ATLAS_MU_TTVA_SYST_Up
ATLAS_MU_Trigger_SYST_Up
ATLAS_MU_Isol_SYST_Up
ATLAS_MU_Isol_SYST_Up
ATLAS_MU_ID_SYST_LOWPT_Up
ATLAS_MU_ID_SYST_LOWPT_Up
ATLAS_MU_ID_SYST_Up
ATLAS_MUON_SCALE_Up
ATLAS_MUON_SCALE_Up
ATLAS_MUON_SAGITTA_RHO_Up
ATLAS_MUON_SAGITTA_RESBIAS_Up
ATLAS_MUON_SAGITTA_RESBIAS_Up
ATLAS_MUON_MS_Up
ATLAS_MUON_ID_Up
ATLAS_MUON_ID_Up
ATLAS_EL_Trigger_Up
ATLAS_EL_Trigger_Up
ATLAS_EL_Reco_Up
ATLAS_EL_Reco_Up
ATLAS_EL_Isol_SYST_Up
ATLAS_EL_Isol_SYST_Up
ATLAS_EL_Isol_STAT_Up
ATLAS_EL_Isol_STAT_Up
ATLAS_EL_ID_Up
ATLAS_EL_ID_Up
ATLAS_EG_SCALE_Up
ATLAS_EG_SCALE_Up
ATLAS_EG_SCALE_AF2_Up
ATLAS_EG_SCALE_AF2_Up
ATLAS_EG_RESOLUTION_Up
ATLAS_EG_RESOLUTION_Up
ATLAS_JVT_Up
ATLAS_JVT_Up
ATLAS_JVT_Up
ATLAS_PRW_DATASF_Up
ATLAS_PRW_DATASF_Up
ATLAS_lumi_Up
ATLAS_lumi_Up
SR_BDT_tHq_2L1TAU_OS_tHq
SR_BDT_tHq_2L1TAU_OS_TWH
SR_BDT_tHq_2L1TAU_OS_TWZ
SR_BDT_tHq_2L1TAU_OS_ttbar
SR_BDT_tHq_2L1TAU_OS_ttW
SR_BDT_tHq_2L1TAU_OS_ttZ
SR_BDT_tHq_2L1TAU_OS_ttH
SR_BDT_tHq_2L1TAU_OS_TZq
SR_BDT_tHq_2L1TAU_OS_singletop_tW
SR_BDT_tHq_2L1TAU_OS_Zjets
SR_BDT_tHq_2L1TAU_OS_Diboson
SR_BDT_tHq_2L1TAU_OS_minor_bkgS
SR_BDT_tHq_2L1TAU_OS_minor_bkgS_AFII
CR_ttbar_2L1TAU_OS_tHq
CR_ttbar_2L1TAU_OS_TWH
CR_ttbar_2L1TAU_OS_TWZ
CR_ttbar_2L1TAU_OS_ttbar
CR_ttbar_2L1TAU_OS_ttW
CR_ttbar_2L1TAU_OS_ttZ
CR_ttbar_2L1TAU_OS_ttH
CR_ttbar_2L1TAU_OS_TZq
CR_ttbar_2L1TAU_OS_singletop_tW
CR_ttbar_2L1TAU_OS_Zjets
CR_ttbar_2L1TAU_OS_Diboson
CR_ttbar_2L1TAU_OS_minor_bkgS
CR_ttbar_2L1TAU_OS_minor_bkgS_AFII
CR_Zjets_2L1TAU_OS_tHq
CR_Zjets_2L1TAU_OS_TWH
CR_Zjets_2L1TAU_OS_TWZ
CR_Zjets_2L1TAU_OS_ttbar
CR_Zjets_2L1TAU_OS_ttW
CR_Zjets_2L1TAU_OS_ttZ
CR_Zjets_2L1TAU_OS_ttH
CR_Zjets_2L1TAU_OS_TZq
CR_Zjets_2L1TAU_OS_singletop_tW
CR_Zjets_2L1TAU_OS_Zjets
CR_Zjets_2L1TAU_OS_Diboson
CR_Zjets_2L1TAU_OS_minor_bkgS
CR_Zjets_2L1TAU_OS_minor_bkgS_AFII